

# 長波の研究用造波装置の特性

東北大学工学部 正員 岩崎 敏夫  
東北大学大学院 学生員・足立 有平

## 1. まえがき

東北大学海岸水理研究室では、長波の研究用造波装置を用いて津波に関する実験的研究を行なって来た。しかし、造波装置の特性については昭和41・42年は研究を始めただけで、その後装置が改修されてからは検討されていない。しかるに実験装置により、実際の津波(不規則波)を再現せしめんとするには、装置の入出力特性を解明しなければならない。そこで、この造波装置の総合特性に関する研究を行なったのでここに報告する。

## 2. 造波装置と造波方法

図-1に造波装置の平面図を示す。軸流ポンプ(35kW)によつて低水槽(水面積 $98m^2$ ×深さ4.5m)から圧力銃管を通して高水槽(水面積 $675m^2$ ×深さ0.9m)へ一定流量を送り込んでいる。分歧点Aから低水槽へ短絡管があり、そこから取り付けられたよう弁により、高水槽に送られる流量を調節できるようになっている。実験を行なう際は一定開度に設定している。高水槽から低水槽へ2本の銃管(500mm中, 350mm中)で水を落としており、各々に取り付けたロートバルブによつて、落下水量を調節し、高水槽に波を発生させることのみになつてゐる。ロートバルブは油圧により作動する。つまり、波を制御するには、ロートバルブを開度を制御すればよい訳で図-2にその制御機構を簡単によ示す。二二で、フィードバック制御を行なつてゐるのは、高水槽模型側での反射波の影響を消すために、電子式指示調節計によつて入力波形と出力波形(O点)との偏差量をゼロにするうえ電流信号がロートバルブに取り付けられたフォースコイルに送られる。フォースコイルの変位がバルブの開度を決定する。

## 3. 造波装置の伝達関数

(1) ブロック線図 この制御系をブロック線図で表わせば図-3のようになる。ここで、Vは設定水位、Yは出力水位、Cはロートバルブ流量係数変化量、Qは吐出量で各々ラプラス変換した量である。

(2) 伝達関数  $G_1(s)$  図-1における各圧力銃管での定常および非定常時の運動方程式ならびに連続方程式より得られる関係式をラプラス変換し、 $G_1(s) = Q(s)/C(s)$  で表わされる関数  $G_1(s)$  を求めると次式のごとき5次遅れの関数が得られる。

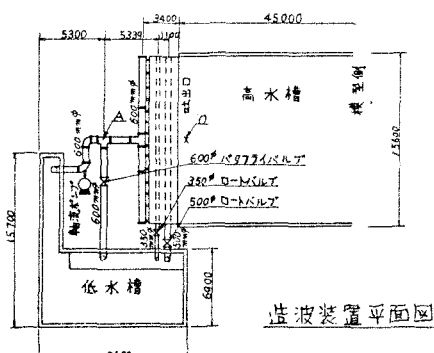


図-1

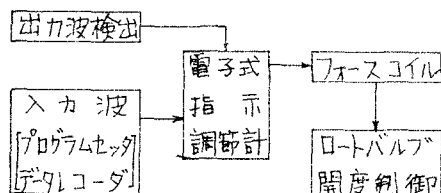
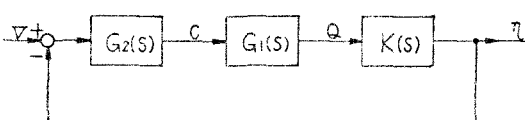


図-2

ブロック線図



$G_1(s)$ : 水理系造波伝達関数

$G_2(s)$ : 電気油圧式伝達関数

$K(s)$ : 流量水位伝達関数

図-3

$$G_1(S) = \frac{21.3629 \cdot S \cdot (S + 2.37327) \cdot (S + 27.45972) \cdot (S + 38.89941)}{(S + 0.0124) \cdot (S + 2.56714) \cdot (S + 22.04727) \cdot (S + 23.05365) \cdot (S + 43.44671)}$$

(3) 伝達関数  $G_2(S)$  は簡単のため水位偏差とロートバルブの流量係数変化量とは直線関係であると仮定して伝達関数  $G_2(S) = C(S) / \{\nabla(S) - \eta(S)\} = -0.0912$  が得られた。

(4) 伝達関数  $K(S)$  長波の運動方程式および連続方程式から、 $\partial^2 \eta / \partial t^2 = c^2 \partial^2 \eta / \partial x^2$  なる方程式が得られる。ただし、 $c$  は波速、 $x$  は吐出口を原点として長手方向にとり、 $\eta$  は  $x$  方向への単位時間あたりの水平移動距離を表す。この方程式をストークスの方法により解き、 $\eta = -\frac{1}{c} \frac{\partial \eta}{\partial x} t$  ( $h$  は水深) より  $\eta$  を求め、さらにラプラス変換することにより伝達関数  $K(S) = \eta(S) / Q(S)$  を求めれば、次式が得られる。

$$K(S) = 2.9304 \times 10^{-3} \times \sum (-1)^m \frac{1.26767 \times m^2 S}{S^2 + 1.26767 \times 10^{-3} \times m^2}$$

#### 4. 特性曲線 - ボード線図

系全体の伝達関数  $G(S)$  は

$$G(S) = \frac{G_1(S) \cdot G_2(S) \cdot K(S)}{1 + G_1(S) \cdot G_2(S) \cdot K(S)}$$

となるから、これらからボード線図を描けば図-4のようになる。なお、図-4は  $K(S)$  の式中の  $m$  の値を4と1としているためゲイン曲線では4つの不連続点が見られる。この点がいわゆる共振周期を示す点である。高水槽の実際の共振周期は34秒程度とされているので、図-4で最も高周波側の共振周期は約40秒で多少大きくなっている。位相曲線は固有数0.15～0.60 rad/sec におけるほとんど  $90^\circ$  の位相差をとっている。次に述べる実験結果と近い値を与えている。

#### 5. 実験結果および考察

実験は周期11, 17, 22, 33, 49秒の正弦波5ケースについて行なった。いずれも連續10波を入力しており、図-5は周期17.33秒の結果である。ただし、設定期はデータレコーダにより入力し、出力波の測定は図-1のO点で容量式波高計を用いて行なった。位相差には固有49秒の波以外はすべて  $90^\circ$  付近であり、これは計算結果とほぼ一致している。(1)か)、周期49秒の波の場合には水槽の固有周期に近い波が発生する現象が起きた。波高比(ゲイン)は時間とともに増大していく様子が見られた。(2)か)とは今後、不規則波を高水槽に出力させた際に大きく影響してくれる問題点である。なぜなら、実際の津波では第1～3波あたりの波高が最も重要な要素とされているからである。(1)か)で、今後は、電子式指示装置のPID動作(現在はP動作のみ使用)による最適制御についての検討、さらにフィードバックされる波の検出方法についての再検討を行なう予定である。最後に、計算および実験するにあたって多大な協力を頂いた佐藤学司氏、中沢英明君、三浦磨君に感謝の意を表すものである。

参考文献: (1) 岩崎敏夫・鶴保良; “長波の研究用造波装置とその特性について” (1), (2), 土木学会第13・14回海講講演集

(2) Lamb: “Hydrodynamics”, 6th ed. 1932 Cambridge University p. 255

(3) 稲山守男他; “自働制御演習”, 1972, 講談社出版 pp. 1-79

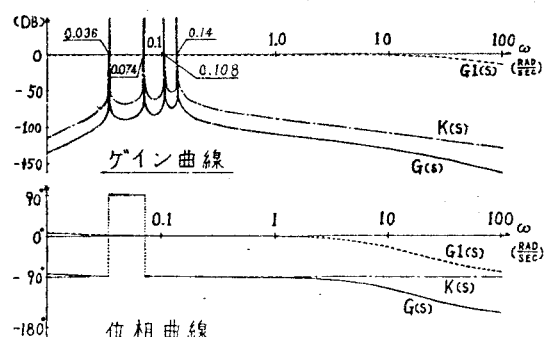


図-4

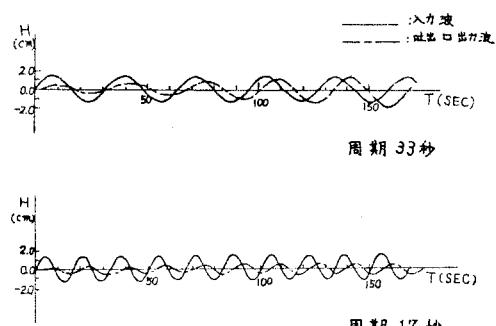


図-5